

بررسی و مقایسه‌ی نحوه توزیع کرنش در ورق‌های ضخیم فولادی میکروآلیاژی و ساده‌کربنی

فرید انوشه‌بور (کارشناس)

محمود عباسی (کارشناس)

مصطفی کتابجی (استادیار)

دانشکده‌ی مهندسی معدن، متالورژی و نفت، دانشگاه صنعتی امیرکبیر

سیدحسین حسن‌با (کارشناس ارشد)

حمید رحمانی (کارشناس ارشد)

مرکز تحقیقات مواد شرکت سایکو

با توجه به فراگیرشدن مصرف فولادهای ساده‌کربنی فلزی و جایگزینی فولادهای ساده‌کربنی توسط این گروه از فولادها، مقایسه‌ی شکل‌پذیری این نوع فولادها اجتناب‌ناپذیر می‌نماید. یکی از روش‌های مقایسه‌ی شکل‌پذیری ورق‌های فلزی بررسی نحوه توزیع کرنش در ورق پس از عملیات شکل‌دهی است. برای تهیی نمونه از ۵ نوع ورق از خانواده فولادهای میکروآلیاژی تولید داخل، دو نمونه ورق فولادی میکروآلیاژی خارجی و دو نمونه ورق فولادی ساده‌کربنی). همچنین در این تحقیق اثر حضور روان‌ساز در بهبود شکل‌پذیری مورد بررسی قرار گرفته است. از ویژگی‌های این تحقیق ضخامت نسبتاً زیاد ورق‌های مورد مطالعه است که این عامل تاکنون کمتر مورد بررسی و مطالعه قرار گرفته است.

یکنواخت‌تر توزیع شده باشد قابلیت شکل‌پذیری ورق هم بیشتر خواهد بود. توزیع ناهمگن کرنش در ورق موجب موضعی شدن کرنش در مناطقی از ورق می‌شود، و با تجاوز از کرنش‌های حدی در این مناطق پیده‌های گردنه‌ی شدن و شکست آغاز می‌شود. بنابراین بررسی چگونگی توزیع کرنش و عوامل موثر بر آن می‌تواند معیاری برای مقایسه‌ی شکل‌پذیری ورق‌های فلزی باشد.

در این تحقیق شکل‌پذیری ورق‌های ضخیم (در حدود ۳ mm) مورد بررسی قرار گرفته است. تحقیقات انجام گرفته بر روی ورق‌هایی با این ضخامت بسیار محدودتر از مطالعات انجام شده بر روی ورق‌های با ضخامت کم است، که از جمله‌ی این محدود تحقیق‌ها می‌توان به مقاله‌ی Date و Padamanhan [۶] اشاره کرد.

بحث تولید ورق‌های میکروآلیاژی به خصوص در دهه‌ی اخیر مطرح شده است، ورق‌های میکروآلیاژی جایگاه ویژه‌ی بهویه در صنایع خودروسازی، به خود اختصاص داده‌اند. استفاده از این ورق‌ها با استحکام بالاتر، امکان بهکارگیری ورق‌های نازک‌تر را به جای ورق‌های ضخیم‌تر فولادهای ساده‌کربنی فراهم می‌سازد. علت این امر بالاتر بودن خواص مکانیکی فولادهای میکروآلیاژی در مقایسه با فولادهای ساده‌کربنی است. با فراگیر شدن کاربرد این نوع ورق‌ها در خودرو، وزن خودرو سبک‌تر شده و باعث کاهش مصرف سوخت و همچنین

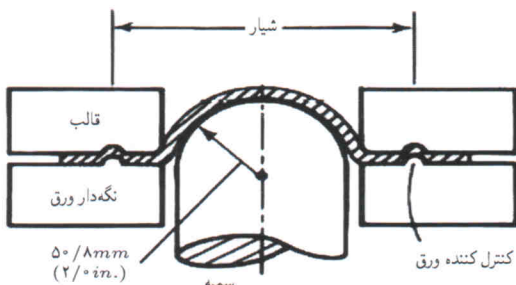
مقدمه

با توسعه‌ی روزافزون صنایع ساخت و تولید، فرایندهای شکل‌دهی فلزات هم پیشرفت‌های شایان ذکری یافته و وسیعاً مورد مطالعه قرار گرفته است. اولین تلاش‌ها در زمینه‌ی ارزیابی شکل‌پذیری ورق‌های فلزی و به دست آوردن نمودارهای حد شکل‌پذیری (FLD) در اوایل دهه‌ی ۶۰ صورت گرفت. [۱]

در ادامه‌ی فعالیت‌های محققان قبلی در اوایل دهه‌ی ۶۰ روشی ارائه شد [۲] که تا امروز هم اکثر محققان از آن برای بررسی شکل‌پذیری ورق‌های فلزی استفاده می‌کنند. از جمله کارهای اخیر می‌توان به تحقیقات صورت گرفته براساس بهکارگیری روش‌های عددی همراه با همان نظریه‌های قبلی، [۳] اشاره کرد.

در فرایندهای شکل‌دهی، ورق تاجایی می‌تواند تغییر شکل را تحمل کند که در آن باریک شدگی^۱ و درنتیجه شکست رخ ندهد. بنابراین برای بررسی شکل‌پذیری یک ورق ابتدا باید نسبت به تعیین کرنش‌های حدی که در آن، باریک شدگی در ورق شروع می‌شود اقدام شود. در این تحقیق از میان روش‌های موجود برای تعیین کرنش‌های حدی، روش Hecker مورد استفاده قرار گرفته است.

یکی از عامل‌های مؤثر در افزایش شکل‌پذیری ورق چگونگی توزیع کرنش در ورق طی فرایند شکل دهی است. هر چه کرنش اعمالی



شکل ۱. تصویری شماتیک از قالب، شامل قالب، ورق گیر و سنبه و چگونگی قرار گرفتن ورق درون قالب.



شکل ۲. نمایش تبدیل دایره‌های حک شده روی نمونه به بیضی پس از انجام آزمایش (نمونه ورق با عرض ۱۰۰ mm).

جنس سنبه و ماتریس قالب از فولاد سردکار^۳ است. پس از انجام آزمایش، شکل دایره‌های حک شده روی نمونه تعییر شکل یافته و متناسب با منطقه‌یی که در آن قرار داردند به بیضی یا دایره‌یی بزرگ‌تر تبدیل می‌شوند یا به همان اندازه‌یی قبلی باقی می‌مانند (شکل ۲).

بعد از آنکه تمامی نمونه‌ها در دو حالت خشک و روان‌کاری شده مورد آزمایش قرار گرفتند، ارتفاع گنبد و قطرهای اصلی و فرعی دوایر تبدیل شده به بیضی، روی خطی که از مرکز نمونه و در امتداد طولی آن می‌گذرد، به دقت اندازه‌گیری و کرنش‌های مهندسی مربوطه نیز محاسبه شد. از این داده‌ها برای رسم نمودارهای توزیع کرنش، استفاده خواهد شد.

$$e_1 = \frac{d_1 - d_0}{d_0} \quad \text{کرنش فرعی}$$

$$e_2 = \frac{d_2 - d_0}{d_0} \quad \text{کرنش اصلی}$$

جدول ۱. ترکیب شیمیایی ورقهای فولادی.

N ₂	Nb	Al	S	P	Mn	Si	C	نام فولاد
۴۴Ppm	۰,۰۳۷	۰,۰۳۴	۰,۰۰۵	۰,۰۱	۰,۷۵۰	۰,۰۱	۰,۰۷	B,A
۴۸Ppm	۰,۰۴۱	۰,۰۵۶	۰,۰۰۶	۰,۰۰۷	۰,۵۲۰	۰,۱۳۰	۰,۰۶	C
—	—	۰,۰۴	۰,۰۰۶	۰,۰۰۷	۱	۰,۲	۰,۱۵	D
—	—	۰,۰۵	۰,۰۰۸	۰,۰۰۵	۰,۴۵	۰,۰۱۵	۰,۰۹	E

کاهش هزینه‌ی تولید خودرو می‌شود. به همین سبب، بررسی خواص شکل‌پذیری فولادهای میکروآلیاژی از این نظر از اهمیت ویژه‌یی برخوردار است.

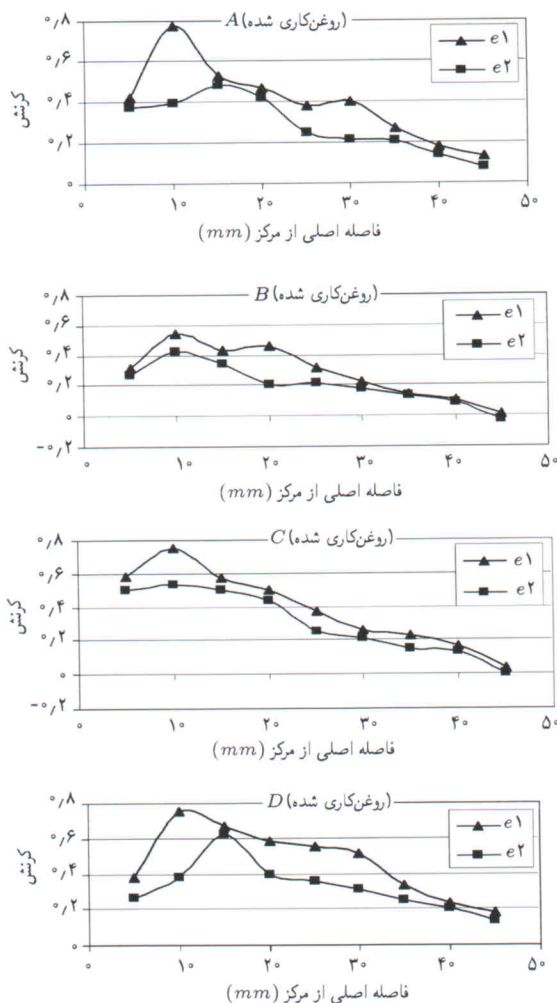
آنچه که در این نوشتار ارائه شده، تحقیقی است برای مقایسه‌ی قابلیت شکل‌پذیری ۵ نمونه ورق فولادی (فولاد میکروآلیاژی داخلی، دو نمونه از فولاد میکروآلیاژی خارجی و دو نمونه از فولاد ساده کربنی)، براساس نحوی توزیع کرنش در نمونه‌های تهیه شده از این فولادها و همچنین براساس اندازه‌ی ارتفاع گنبد^۲ که در همین نمونه‌ها اندازه‌گیری شده است. در این تحقیق همچنین تأثیر ضخامت و شرایط روغن‌کاری در آزمایش‌ها مورد نظر قرار گرفته است.

روش تحقیق و آزمایش

همانطور که پیش‌تر اشاره شد، در تحقیق حاضر بررسی و مقایسه‌ی شکل‌پذیری پنج نوع ورق فولاد مورد نظر قرار گرفته است: فولاد میکروآلیاژی خارجی در دو ضخامت ۳ و ۲/۵ میلی‌متر که به ترتیب با حروف A و B نام‌گذاری شده است، فولاد میکروآلیاژی داخلی با ضخامت ۳ میلی‌متر که با حرف C نشان داده شده است و فولاد ساده‌کربنی در دو ضخامت ۳/۳ و ۲/۶ میلی‌متر که به ترتیب با D و E نام‌گذاری شده‌اند. ترکیب شیمیایی فولادهای فوق در جدول ۱ ارائه شده است.

برای انجام تحقیق، ابتدا تعدادی ورق به ابعاد ۲۰^{cm} × ۲۰^{cm} برای هریک از فولادهای مورد نظر تهیه شد. سپس بر روی هریک از این نمونه‌ها، با استفاده از چاپ سیلک دوایری به قطر ۲/۵ میلی‌متر حک شد، که فاصله‌یی مرکز تا مرکز هر دایره با دوایر اطراف ۵ میلی‌متر است. در این روش چاپ، ابتدا طرح دوایر مورد نظر بر روی شالبلون مخصوص منقل، و سپس عملیات رنگ‌آمیزی نمونه‌ها انجام می‌شود. در پایان مرحله‌ی پخت رنگ به منظور ثبوت طرح در دمای کم صورت می‌گیرد. سپس ورقهای فوق را در عرض‌های ۲/۵، ۵، ۷/۵، ۱۰، ۱۲/۵، ۱۵، ۱۷/۵ و ۲۰ سانتی‌متر بر بش داده و به منظور بررسی توزیع کرنش و ارتفاع گنبد آزمایش می‌کنند.

برای انجام آزمایش، از عملیات اتساع از نوع «آزمون ارتفاع گنبد» استفاده شد که نقشه‌ی قالب و سنبه‌ی آن در شکل ۱ ارائه شده است.



شکل ۴. نمودار توزیع کرنش در نمونه‌های عرض 200 mm روانکاری شده.

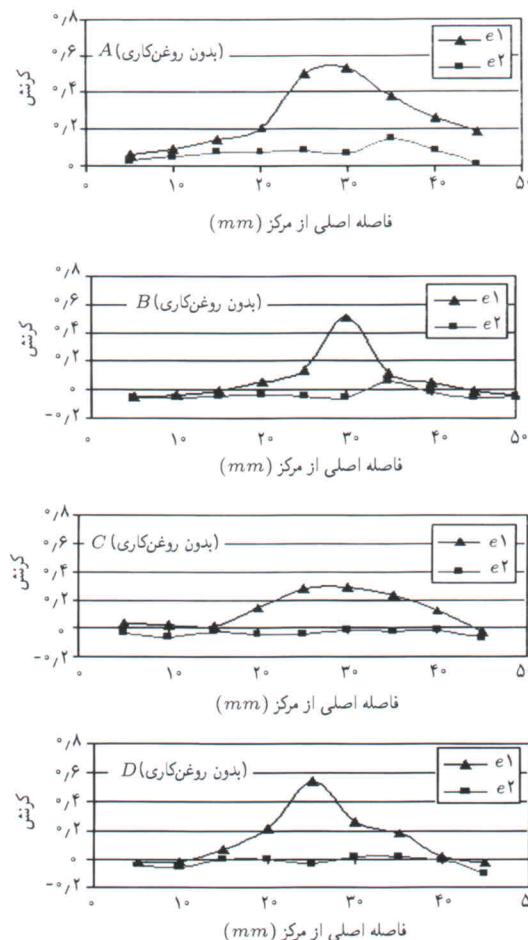
این منحنی‌ها پارامترهایی نظیر نحوه تغییرات e_1 و e_2 ، تأثیر شرایط روغن‌کاری، تأثیر جنس نمونه، موقعیت محل گلویی و ارتفاع گند مطرح است که در ادامه، این عوامل مورد بررسی قرار گرفته‌اند. در نگاه اول به منحنی‌های توزیع کرنش نکته‌یی که به نظر می‌رسد هماهنگی بین نمودارهای توزیع کرنش e_1 و e_2 است، که نقاط نهایی هر دو منحنی در یک منطقه از ورق انتقال افتاده است. علت آن است که توقف روند افزایشی کرنش e_1 به دلیل آغاز وضعیت گردنی‌بی شدن موضعی^۳ از ادامه تغییرات در کرنش e_2 هم مماعت می‌کند. لذا در ورق‌های با عرض‌های 20 ، 25 و 30 سانتی‌متر که تغییرشکل در آنها از نوع اتساع دومحوری $e_1, e_2 \geq e_1, e_2$ است منحنی‌های e_1 و e_2 تقریباً رفتار یکسانی دارند؛ یعنی به طور یکنواخت افزایش و کاهش می‌باشد (شکل‌های 7 و 8 برای عرض‌های 20 و 30 سانتی‌متر). در ورق‌های به عرض 12.5 و 15 سانتی‌متر که تقریباً وضعیت کشنک محوری ($e_1 > e_2$) یا بیشینه کرنش صفحه‌بی ($e_1 < e_2$)

که در آن d . قطر نخستین دایره‌ی اولیه، d_1 و d_2 قطر بزرگ و قطر کوچک بیضی نهایی هستند.

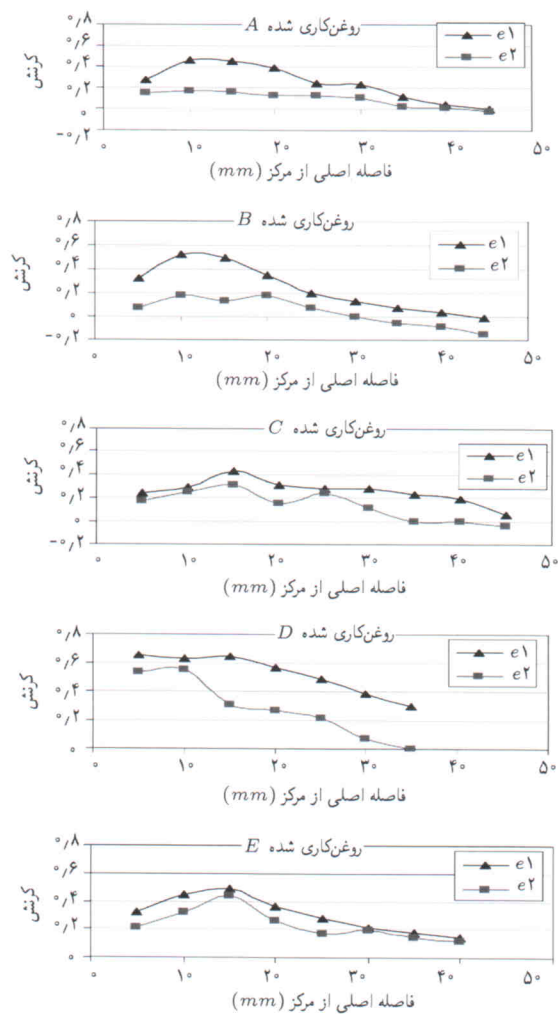
لازم به ذکر است که سرعت اعمال نیرو در هنگام انجام آزمایش $15 \frac{\text{mm}}{\text{sec}}$ در نظر گرفته شده است.

نتایج و بحث

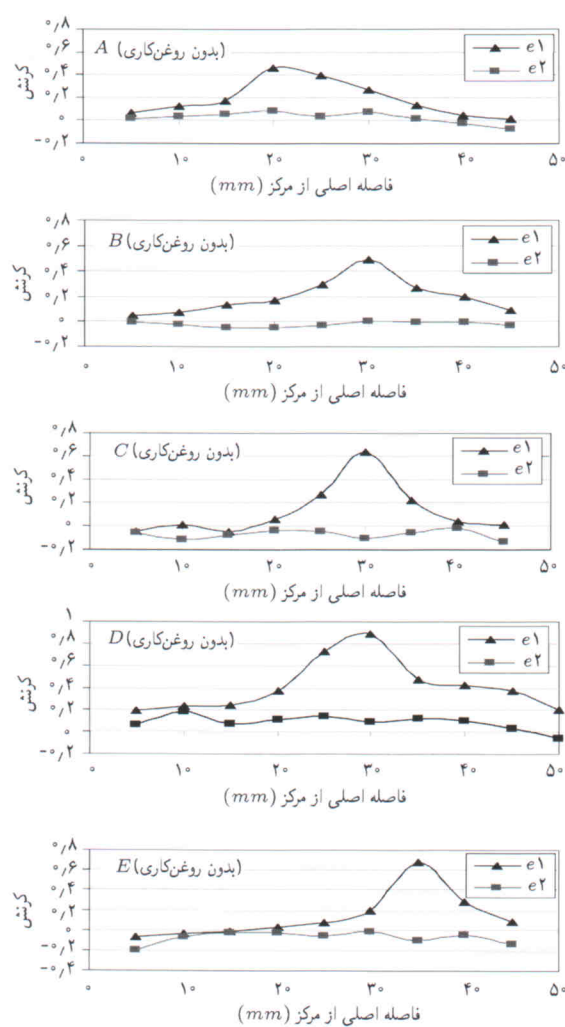
محاسبه کرنش‌های اصلی و فرعی به دست آمده در امتداد خط طولی نمونه از مرکز تا کناره طبق روابط فوق (برحسب فاصله از رأس گند نمونه) منحنی‌های توزیع کرنش را نتیجه می‌دهد. در شکل‌های 3 و 4 منحنی‌های توزیع کرنش نمونه‌های E, D, C, B, A برای عرض 20 سانتی‌متر در دو وضعیت روانکاری شده و بدون روانکاری ترسیم شده است. در شکل 5 و 6 منحنی‌های توزیع کرنش این نمونه‌ها در عرض 17 سانتی‌متر رسم شده و در شکل 7 و 8 منحنی‌های توزیع کرنش نمونه C برای عرض‌های مختلف از 10 تا 20 سانتی‌متر در دو حالت خشک و روانکاری شده نشان داده شده است. در خصوص



شکل ۳. نمودار توزیع کرنش در نمونه‌های عرض 200 mm بدون روانکار.



شکل ۶. نمودار توزیع کرنش در نمونه‌های عرض ۱۷۵mm روانکاری شده.



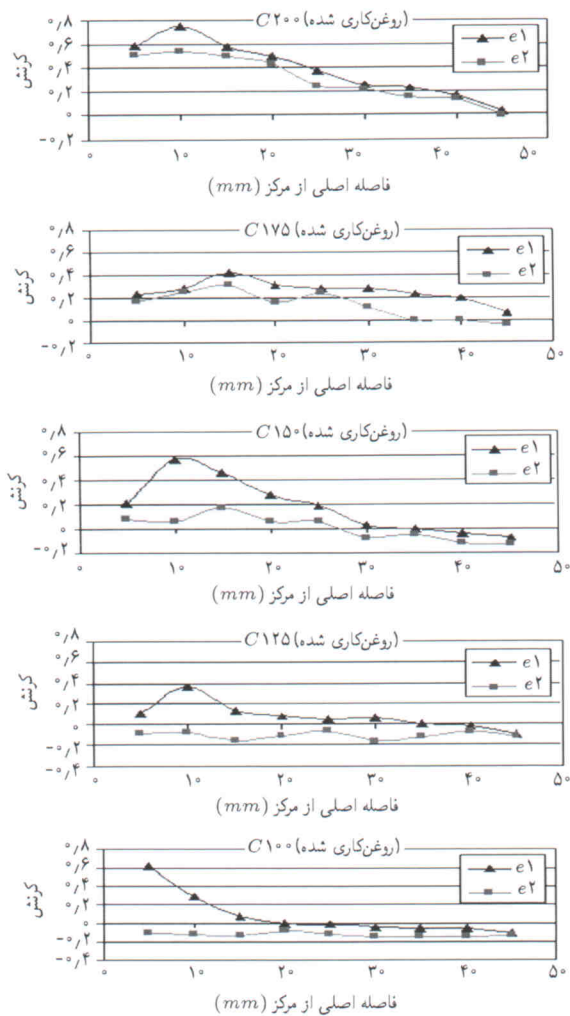
شکل ۵. نمودار توزیع کرنش در نمونه‌های عرض ۱۷۵mm بدون روانکار.

در حالت بدون روانکاری، در هر منطقه از ورق پس از تماس با سنبه، به دلیل ایجاد حالت اصطکاک چسبنده بین ورق و سنبه تغییر شکل طولی (روند افزایش کرنش‌های شعاعی) محدود می‌شود، و ادامه‌ی حرکت سنبه فقط با تحمیل تمامی تغییر شکل به سایر قسمت‌های ورق (که با سنبه در تماس نیستند) ممکن می‌شود. نتیجه‌ی این امر انتقال منطقه‌گردنه‌ی به دیواره‌های گند است که دیرتر با سنبه تماس پیدا می‌کنند. اما حضور روان‌ساز موجب کاهش اصطکاک، و تداوم کرنش در تمامی مناطق ورق تا زمان شکست می‌شود. در نتیجه در چنین وضعیتی یک افزایش کلی در میزان کرنش‌های اصلی و همچنین حرکت منطقه‌ی گردنه‌ی به سمت رأس گند مشاهده می‌شود.^[۸]

در مورد تأثیر جنس ورق بر منحنی‌های توزیع کرنش، بررسی شکل‌های ۵ و ۶ برای نمونه‌های B (فولاد میکروآلیاژی) و E (فولاد ساده‌کربنی) که ضخامت‌های مشابه دارند نشان می‌دهد که در فولاد ساده‌کربنی توزیع کرنش یکنواخت‌تر فراهم شده، و مقدار کرنش بالاتری

$e_2 = 0$ در آنها حاکم است منحنی‌های e_1 و e_2 رفتار معکوس دارند (شکل‌های ۷ و ۸ در ورق‌های با عرض ۱۰ و ۱۲,۵ سانتیمتر)، یعنی در محلی که کرنش e_1 به بیشینه‌ی مقدار خود رسیده کرنش e_2 حداقل مقدار ممکن را دارد.^[۷]

همچنین، چنان که از مقایسه‌ی شکل‌های ۳ با ۴ و ۵ با ۶ (نمودارهای توزیع کرنش در عرض‌های ۲۰ و ۱۷,۵ در دو حالت خشک و روانکاری شده) و بررسی عرض به عرض شکل‌های ۷، ۸، ۹ (نمودار توزیع کرنش نمونه C در دو حالت خشک و روانکاری شده) مشاهده می‌شود، می‌توان نتیجه‌گرفت که حضور روان‌ساز سبب توزیع یکنواخت‌تر کرنش و در نتیجه جلوگیری از موضعی شدن بیش از حد کرنش و از طرفی جابه‌جایی محل گردنه‌ی شدن از دیواره‌ی گند به سمت نوک آن می‌شود، که این تغییرات به معنای افزایش شکل پذیری است.^[۸] علت جابه‌جایی منطقه‌ی شکست در حالت روانکاری شده به سمت رأس گند را می‌توان چنین توجیه کرد که هنگام انجام آزمایش

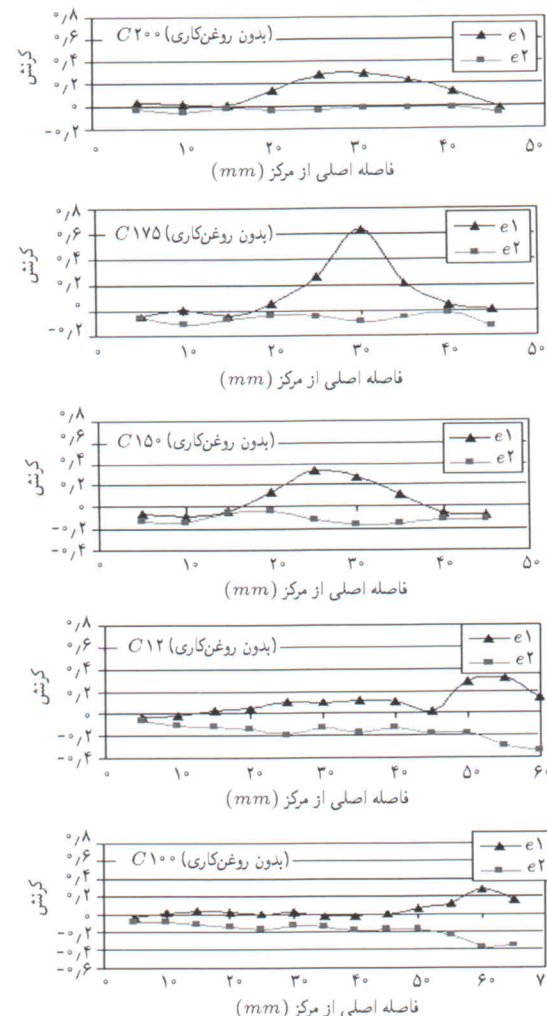


شکل ۸. نمایش چگونگی تغییرات در توزیع کرنش با تغییر در عرض نمونه C روانکاری شده.

جدول ۲. خواص مکانیکی نمونه‌ها.

نمونه	U.T.S(MPa)	Y.S(MPa)	Elongation(%)
A	۴۷۲	۳۸۱	۳۰
B	۴۷۱	۳۵۶	۳۲
C	۴۵۹	۳۹۷	۳۲
D	۴۵۹	۳۰۶	۳۶
E	۳۸۹	۲۶۱	۳۸

شکل ۹ خلاصه شده است. با توجه به گفته‌های قبلی و ترکیب شیمیایی (جدول ۱) و خواص مکانیکی نمونه‌ها (جدول ۲) انتظار می‌رود که فولاد میکروآلیاژی شکل‌پذیری و درنتیجه ارتفاع گند شکست کمتری نسبت به فولاد ساده‌کربنی داشته باشد، که این موضوع را می‌توان در شکل ۹ الف و همچنین ۹ ب در مورد ورق‌های فولادی میکروآلیاژی B و ساده‌کربنی E مشاهده کرد. همچنین این شکل‌ها نشان می‌دهند که دو فولاد C و A که هر دو میکروآلیاژی، اما یکی خارجی و دیگری داخلی است، ارتفاع گند تقریباً یکسانی دارند.



شکل ۷. نمایش چگونگی تغییرات در توزیع کرنش با تغییر در عرض نمونه C بدون روانکار.

تحمیل می‌شود که این دو نشانه‌ی قابلیت شکل‌پذیری بهتر آنها نسبت به ورق‌های فولادی میکروآلیاژی است. بررسی دو شکل ۵ و ۶ در نورد نمونه‌های میکروآلیاژی خارجی A و میکروآلیاژی تولید داخل C نشان می‌دهد که این دو فولاد از نظر چگونگی توزیع کرنش تفاوت قابل ملاحظه‌ی ندارند.

این مشاهدات با توجه به ترکیب شیمیایی این ورق‌ها (جدول ۱) قابل توجیه است؛ چرا که فولادهای میکروآلیاژی در بردارنده‌ی مقادیر جزئی از عناصر میکروآلیاژی از قبیل نیوبیوم، تیتانیم، وانادیم و... هستند که حضور این عناصر سبب استحکام‌دهی این‌گونه فولادها و درنتیجه کاهش شکل‌پذیری آنها نسبت به فولادهای ساده‌کربنی می‌شود.^[۸] در جدول ۲ نتایج ارائه شده‌ی حاصل از آزمون کشش این فولادها و خواص مکانیکی اندازه‌گیری شده مؤید این مطلب است. اندازه‌گیری ارتفاع گند نمونه‌های مختلف پس از انجام اتساع در

در مرور دغیر ارتفاع با تغییر عرض نیز باید گفت که در منحنی‌های حد شکل‌دهی (FLD) نقطه‌ی کمینه‌یی (FLD) وجود دارد که مربوط به کمترین میزان کرشن اصلی، و به عبارتی نقطه‌ی بحرانی نمودار است، و به حالت تغییر شکل در وضعیت کرنش صفحه‌ای مربوط می‌شود. اگر عرض ورق‌ها تحت تغییر شکل، بیشتر از عرض حالت کرنش صفحه‌یی باشد، برای کاهش عرض ارتفاع گنبد نیز کاهش می‌باید. اما اگر عرض ورق‌ها کمتر از عرض حالت کرنش صفحه‌یی باشد، با کاهش عرض ارتفاع گنبد نیز افزایش می‌باید. این موضوع تقریباً با آنچه در شکل ۹، چه در حالت خشک و چه در حالت با روان‌ساز، دیده می‌شود مطابقت دارد.

نتیجه‌گیری

۱. ورق‌های ساده‌گربني، از نظر یکنواختی توزیع کرنش و ارتفاع گنبد در نمونه‌های آزمایش اتساع از نوع «آزمایش ارتفاع گنبد» شکل پذیری بهتری نسبت به ورق‌های میکروآلیاژی از خود نشان می‌دهند.

۲. با توجه به نتایج بدست آمده و آنچه که بحث شد، چنین نتیجه می‌شود که بالاترین میزان شکل‌پذیری مربوط به نمونه D و سپس نمونه‌های A و C، و بعد از این‌ها نمونه E و کمترین میزان شکل‌پذیری مربوط به نمونه B است.

۳. تمامی نتایج حکایت از افزایش قابلیت شکل‌پذیری در صورت استفاده از مواد روان‌ساز دارد.

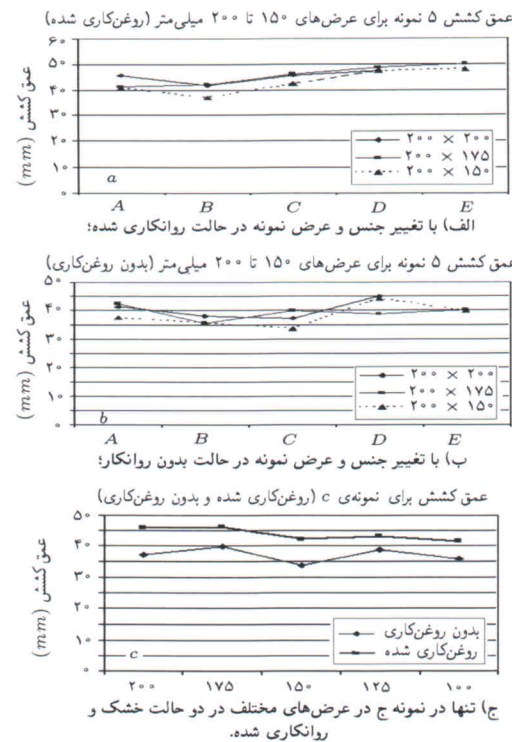
پاتوشت

1. necking
2. dome height
3. cold worked steel

۴. (local necking) موضعی شدن کرنش در منطقه‌ی گردنه‌ی، به دلیل محدود شدن کرنش ورق در مجاورت ناخالصی‌های پراکنده موجود در ورق، یا به دلیل تماس سنیه با ورق می‌باشد.

منابع

1. Keeler, S.P. "Determination of forming limits in automotive stamping", *Sheet Metal Industries*, pp. 683-697 (1965).
2. Goodwin, G.M. "Application of strain analysis to sheet metal forming problems in the press shop", *SAE Automotive engineering congress, Detroit*, 77, p. 680093 (1968).
3. Hecker, S. "Simple technique for determining forming limit curves", *Sheet Metal Industries*,



شکل ۹. بررسی روند تغییرات در ارتفاع گنبد.

بررسی و مقایسه‌ی شکل‌های ۹ الف و ۹ ب (تفاوت در جنس ورق) و همچنین شکل ۹ ج (تفاوت در عرض ورق) نشان می‌دهد که حضور روان‌ساز سبب افزایش شکل‌پذیری و در نتیجه افزایش ارتفاع گنبد می‌شود.

pp. 671-676 (1975).

4. Avila, A.F. Vieira, E.L.S. "Proposing a better forming diagram prediction: a comparative study", *J. Material Processing Technology*, 141, pp. 101-108 (2003).
5. Butuc, M.C. "A more general model for forming limit diagrams prediction", *J. Material Processing Technology*, 125-126, pp. 213-218 (2002).
6. Date, P.P. & Padamanhan, K.A. "On the formability of 3.15 mm thick low-carbon steel sheets", *J. Material Processing Technology*, 35, pp. 165-181 (1992).
7. ملائی داریانی، بیژن. «راهه روش تجربی بدست آوردن منحنی‌های FLD در شکل‌پذیری ورق‌های فلزی»، چهارمین کنفرانس سالانه مهندسی مکانیک، صص. ۶۲۵-۶۳۴، شیراز (۱۳۷۵).
8. Keeler, S.P. "Die design and lubrication", *Sheet Metal Industries*, pp. 687-691 (1971).